

استخدام شبكة تكمي متوجه التعلم في تقدير التبخر الإنائي

أ.م.د. كامل علي عبد المحسن
 م. د. افتخار عبد الجود العاني
 تقنيات الموارد المائية
 المعهد التقني
 قسم هندسة الموارد المائية
 جامعة الموصل

الخلاصة

اقترح البحث أسلوب جديد لدراسة فعالية التبخر التي تعتبر واحد من المركبات المهمة التي تشكل الدورة الهيدرولوجية للمياه في الطبيعة، إذ تضمن تخمين عمق التبخر الإنائي بالاعتماد على أربعة عوامل مناخية وهي درجة الحرارة، الرطوبة النسبية، السطوع الشمسي، وسرعة الرياح.

تم تبني شبكة عصبية اصطناعية (unsupervised) ومن النوع Linear Vector Quantization (LVQ) والتي لا تحتاج إلى إشراف مباشر خاصة في المراحل الأولية من تهيئه الشبكة للعمل كما هو الحال في نظيراتها من الشبكات التقليدية والتي شاع استخدامها مؤخراً. لقد أعتمد أسلوب منهجي بسيط لغرض احتساب مخرجات الشبكة وذلك لمحاولة ردم الهوة الحاصلة بين تردد المستخدم في الاستفادة من الإمكانيات العالية لهذه الشبكات والتعقيد النسبي في آلية الاحتساب التي عادة ما تتفاوت مع هذا النوع من الشبكات العصبية الاصطناعية. بينت النتائج إمكانية تخمين عمق التبخر الإنائي وذلك بالاستفادة من هذه التقنية غير التقليدية في النجدية خاصة عندما يتعلق الأمر بموضوعة الشبكات العصبية والتي عادة ما تحتاج إلى إشراف متواصل طوال فترة تربيتها، فقد أوضحت نتائج البحث توافقاً خطياً جيداً بين مخرجات الشبكة المقترنة والقيم المرصودة لعمق التبخر الإنائي وبمعامل ارتباط قدره (0.986).

Using Of Learning Vector Quantization Network for Pan Evaporation Estimation

Abstract

A modern technique is presented to study the evaporation process which is considered as an important component of the hydrological cycle. The Pan Evaporation depth is estimated depending upon four metrological factors viz. (temperature, relative humidity, sunshine, and wind speed). Unsupervised Artificial Neural Network has been proposed to accomplish the study goal, specifically, a type called Linear Vector Quantitization, (LVQ). A step by step method is used to cope with difficulties that usually associated with computation procedures inherent in these kind of networks. Such systematic approach may close the gap between the hesitation of the user to make use of the capabilities of these type of neural networks and the relative complexity involving the computations procedures. The results reveal the possibility of using LVQ for of Pan Evaporation depth estimation where a good agreement has been noticed between the outputs of the proposed network and the observed values of the Pan Evaporation depth with a correlation coefficient of 0.986.

44

Key words :Evaporation, Neural network

المقدمة

الشبكة عند تغير الظروف المحيطة بالفعالية حيث تمسي مخرجات هذه الشبكة ذات طابع مختلف نسبياً عن مخرجاتها أبان فترة التدريب.

يهم البحث الحالي بتبني نوع آخر مهم من أنواع الشبكات العصبية لم يسبق تحرى إمكاناته في مجال الموارد المائية (على حد علم كاتبي البحث) وهي من نوع الشبكات العصبية التي لا تحتاج إلى إشراف خاصة في المراحل الأولية من تهيئة الشبكة للعمل كما هو الحال في نظيرتها شبكة التغذية الأمامية. ويأمل الباحثان بفتح نافذة للاستفادة من هذه التقنية في معالجة بعض المشاكل التي يواجهها المهندس المختص.

تم تحرير دراسة إمكانية شبكة تحكمي متوجه التعلم Learning Vector Quantitization Neural Network (LVQNN) حيث إن بنية هذا النوع من الشبكات يتكون بشكل رئيسي من طبقتين، الأولى تنافسية والتي افترحت من قبل Kohonen عام 1988^[6] والثانية خطية، والشكل (1) يوضح شبكة تحكمي متوجه التعلم المقترحة.

إن آلية عمل شبكة LVQ المقترنة تتلخص في إثبات الـطبقة التنافسية بتصنيف متوجهات الإدخال بقيام الـطبقة التنافسية بتصنيف متوجهات الإدخال وذلك بتبني أسلوب (Kohonen)، والذي ينتج عنه فوز أحد وحدات الشبكة ذات الوزن الأقرب لمتجه المدخلات لكي يتم تحديده حسب الصيغة التالية:

$$\text{الوزن الجديد للشبكة} = \text{الوزن القديم} + \text{مد} * (\text{متوجه الإدخال} - \text{الوزن القديم})$$

إذ أن: مد: معدل التدريب

إن الوحدة الفائزة ستعطي مخرجاتها على شكل الرقم (١) بينما تخسر بقية الوحدات المنافسة وتعطي مخرجاتها على شكل الرقم (٠)، ومن هنا جاء اسم الطبقة والتي تدعى بالطبقة التنافسية. إن قرب وبعد وزن وحدة معينة عن قيم متوجه المدخلات يتم بإيجاد

تعتبر فعالية التبخر واحدة من المركبات الرئيسية للدورة الهيدرولوجية للمياه في الطبيعة، وبناء على ذلك فقد اجذبت دراستها اهتمام الكثير من الباحثين لا سيما في المناطق التي تشح فيها الموارد المائية مما يتطلب الأمر الحفاظ على هذه الثروة الحيوية، ولغرض التعرف بشكل تفصيلي على ميكانيكية هذه الفعالية والقوانين الفيزيائية التي تحكم بها وأهم الطرق المتتبعة لتقدير كمياتها يمكن الرجوع إلى^[2,1] وغيرهم من الباحثين.

لقد اكتسبت تقنيات الشبكات العصبية الاصطناعية زخماً متصاعداً من ناحية اتساع استخداماتها وذلك لإمكاناتها في حل الكثير من المشاكل الهندسية والتي استعصى حلها بطرق المذكورة التقليدية. ييد أن المتتبع لاستخدام هذه التقنيات سرعان ما يكتشف اقتصار تطبيقاتها على نوع واحد تقريباً من أنواع الشبكات العصبية وهي شبكات التغذية الأمامية (Feed Forward Networks) والتي من مميزاتها أن الخطأ الناتج والمتمثل (بمجموع مربع الفروقات) بين ما هو مرصود فعلياً وما هو محسوب من قبل الشبكة ينتشر انتشاراً ارجاعياً عبر الشبكة (Back Propagation) لتتم معالجته بتوزيعه على وحدات الشبكة جميعاً وجعله أقل مما يمكن. لقد أوليَّ هذا النوع من الشبكات اهتماماً واسعاً وسلط عليه الضوء في كثير من التطبيقات التي تخص أنظمة الموارد المائية [4,5] غير إن من أهم مميزات شبكات التغذية الأمامية هو وجوب معرفتها معرفة تامة بفضاء العينة للبيانات المتوفرة عن الفعالية المراد دراستها، إذ تتعلم الشبكة من خلال التدريب وبذلك تقتصر إمكاناتها على ما تعلمه خلال هذه المرحلة فقط ، في حين لا تتوفر لها القدرة على التميز التام عند تعرضها لمدخلات لم يسبق أن تدربت عليها أى وجود ضعف في عملية تكيف

للغرض توضيح آلية عمل الشبكة المقترحة في هذا البحث تم سرد تفاصيل للحسابات التي تقوم بها الشبكة لأجل إعطاء القارئ فكرة واضحة عن كيفية عملها وتسلسل خطواتها. لقد تم انتخاب قيم معدل التبخر الانئي الشهري لمنطقة الموصل لمدة عام وهو العام 2004 لتصنيفها كهدف للشبكة، فيما تم استخدام المعدل الشهري للمتغيرات المناخية (نسبة الرطوبة، و درجة الحرارة، والسطوع الشمسي)، وسرعة الرياح) كمدخلات لشبكة LVQ المقترحة. كما تم تمثيل مدخلات الشبكة بمصفوفة (عدد الأشهر× عدد المتغيرات) أما مصفوفة الهدف فتضم (عدد الأشهر× عدد الأصناف).

إن تحديد عدد الأصناف التي تضمنها مصفوفة الهدف وعدد وحدات التنافس في الشبكة تم اختيارها بعد محاولات عديدة اعتماداً على أداء الشبكة المعياري والمتمثل بمعدل مربع الخطأ (MSE) (وقد استخدمت خمسة عشر وحدة تنافسية وثلاثة أصناف للهدف. الشكل (3) أدناه يبين أداء هذه الشبكة، ومما يبدو من الشكل فإن أداءها يعتبر شبه نموذجي (يلاحظ أن قيمة MSE قد انخفضت من 0.45 إلى الصفر خلال 41 مكرر) فيما لا يتسع المجال لإظهار بقية المحاولات في اختيار عدد الوحدات التنافسية أو عدد أصناف الهدف.

إن آلية عمل شبكة تكمي متوجه التعلم (LVQ) تتم وفق الخطوات المنهجية المختصرة وكما يلي:

شبكة الانتظام الذاتي SOM (لغرض التصنيف)
1- إيجاد أدنى مسافة أقلية ب باستخدام المعادلة .
(1)

2- بين قيم معدل التبخر الانئي الشهري(P_{SOM}) وقيم أوزان متجهات التصنيف(IW_{SOM})
3- المصفوفة الناتجة من الخطوة أعلاه هي مصفوفة الهدف (Y_{SOM}) (عدد الأصناف× عدد الأشهر)
بالنظام الثنائي والموضحة أدناه:

قيمة المسافة الأقلية بين المتجمدين في الطبقة التنافسية ومن ثم يتم اختيار الوحدة الفائزة التي تمتلك أقل مسافة وكما في العلاقة التالية:

$$d = \sqrt{\sum_{allinput} (P - IW)^2} \quad --- \quad (1)$$

إذ أن:

d : قيمة المسافة الأقلية

P : قيم متجهة المدخلات

IW : قيم أوزان المدخلات

تصنيف الهدف Target Classification

إن من متطلبات شبكة (LVQ) هو أن يتم تصنيف مجموعة البيانات التي تعبر عن المخرجات المرصودة للفعالية المراد دراستها (تبخر الانئي في هذه الحالة) والتي غالباً ما تدعى (بالهدف). ولغرض إتمام عملية التصنيف فإن هناك بعض الطرق الإحصائية التي يمكن استخدامها مثل (Histogram, k-mean, Clustering) وما دمنا بصدور موضوعة الشبكات العصبية فقد وقع الاختيار على شبكة الانتظام الذاتي (Self Organizing Map) لغرض إتمام عملية التصنيف. إن آلية عمل شبكة (SOM) يشابه عمل الطبقة التنافسية في شبكة (LVQ) المنوه عنها أعلاه ، ماعدا أنها تأخذ بانتظامية متجه المدخلات بنظر الاعتبار (أي الوحدات المجاورة للوحدة الراية مضافة إليها الانتظام الذي تتخذه عناصر متجه المدخلات) والشكل (2) يوضح بنية شبكة SOM 46 وباختصار فإن عملية تحديث الأوزان ترتب بشكل يعزز قدرة الشبكة على التخلص من ظاهرة الوحدات المبنية (الوحدات التي غالباً ما تخسر المنافسة) [7]. أضف إلى ذلك ، فإن شبكة الانتظام الذاتي تتميز بكون قيم أوزان وحداتها تمثل قيم أصناف الهدف .

آلية عمل شبكة LVQ مع نموذج الحسابات

$$P_{\text{sw}} = [1.1742 \ 1.75 \ 2.72 \ 4.49 \ 6.82 \ 9.98 \ 10.77 \ 9.95 \ 7.68 \ 4.84 \ 2.01 \ 1.419]$$

$$IW_{\text{sw}} = [8.4249 \ 5.292 \ 2.5868]$$

$$Y_{\text{SOM}} = \begin{bmatrix} 0 & 0 & 0 & 0 & 0 & 1 & 1 & 1 & 1 & 0 & 0 & 0 \\ 0 & 0 & 0 & 1 & 1 & 0 & 0 & 0 & 0 & 1 & 0 & 0 \\ 1 & 1 & 1 & 0 & 0 & 0 & 0 & 0 & 0 & 0 & 1 & 1 \end{bmatrix}$$

أما مصفوفة حسابات المسافات الأقلیديسية(d) فتمثل:

$$d = \begin{bmatrix} 7.25 & 6.67 & 5.7 & 3.93 & 1.6 & 1.55^* & 2.34^* & 1.52^* & .74^* & 3.58 & 6.41 & 7 \\ 4.11 & 3.54 & 2.57 & .80^* & 1.52^* & 4.68 & 5.47 & 4.65 & 2.38 & .45^* & 3.28 & 3.87 \\ 1.41^* & .83^* & .13^* & 1.90 & 4.23 & 7.39 & 8.18 & 7.36 & 5.09 & 2.25 & .57^* & 1.16^* \end{bmatrix}$$

* أقى مسافة وتمثل الصنف الفائز

4- ومن مصفوفة الهدف(Y_{SOM}) يمكن احتساب نسب وقوع عناصر الهدف في الصنف المعين، فعلى سبيل المثال فإن أربعة قيم من متوجهة المدخلات تقع في الصنف الأول (وحدات فائزة تمثل بالرقم 1) وبهذا تكون نسبتها 4/12=1/3 بينما نسبة ما يقع في الصنف الثاني (1/4=3/12) فيما يضم الصنف الثالث (5/12) إذ أن هذه النسب هي من متطلبات عمل شبكة LVQ ().

شبكة تكمي متوجه التعلم LVQ

يتم تجهيز شبكة LVQ بالمدخلات المتضمنة المتغيرات المؤثرة على التبخر الانئي (درجة الحرارة، الرطوبة النسبية ، السطوع الشمسي ، سرعة الرياح)

الموضحة في المصفوفة (P_{LVQ}) والمخرجات المتضمنة مصفوفة الهدف (y_{SOM}) المصنفة في الخطوات السابقة. وبذلك تكون الشبكة جاهزة لعملية التدريب. انظر الشكل (3) رجاءً. كما تبين المصفوفة (IW_{LVQ}) الأوزان النهاية للطبقة التنافسية لشبكة LVQ أما المصفوفة (LW_{LVQ}) فتمثل أوزان الطبقة الخطية للشبكة. إن توقف عملية التدريب تتم حين الحصول على أقل فرق معياري

(MSE) بين الهدف ومخرجات الشبكة. حيث يبين الشكل (3) الخاص بأداء الشبكة انخفاض قيمة معدل مربع الخطأ عن قيمته الأصلية (0.45) إلى الصفر بعد مكررات مقدارها 41 مكرر.

$$P_{LVQ} = \begin{bmatrix} 7.85 & 72.28 & 5.08 & .68 \\ 8.66 & 68.2 & 4.61 & .74 \\ 13.66 & 64.8 & 6.99 & .76 \\ 19.79 & 58.0 & 7.91 & 1.15 \\ 24.50 & 46.58 & 9.61 & 1.117 \\ 30.14 & 32.35 & 11.67 & .59 \\ 34.91 & 29.04 & 11.77 & 1.16 \\ 34.44 & 29.62 & 11.02 & 1.40 \\ 28.90 & 33.85 & 10.43 & .635 \\ 22.31 & 39.82 & 8.46 & .863 \\ 14.31 & 57.02 & 7.16 & 1.05 \\ 11.91 & 68.32 & 5.59 & .279 \end{bmatrix}$$

$$IW_{LVQ} = \begin{bmatrix} 31.0635 & 34.8665 & 10.8979 & 1.0609 \\ 21.443 & 50.5224 & 8.2021 & 0.95092 \\ 21.412 & 50.5125 & 8.1956 & 0.9418 \\ 21.4772 & 50.5227 & 8.212 & 0.94625 \\ 21.4572 & 50.5185 & 8.202 & 0.94776 \\ 21.434 & 50.6704 & 8.1973 & 0.94691 \\ 21.1313 & 49.3576 & 8.5136 & 0.98422 \\ 21.4572 & 50.5185 & 8.202 & 0.94776 \\ 12.39 & 64.0428 & 6.1338 & 0.71173 \\ 21.412 & 50.5125 & 8.1956 & 0.9418 \\ 21.412 & 50.5125 & 8.1956 & 0.9418 \\ 21.412 & 50.5125 & 8.1956 & 0.9418 \\ 21.412 & 50.5125 & 8.1956 & 0.9418 \\ 21.412 & 50.5125 & 8.1956 & 0.9418 \\ 21.412 & 50.5125 & 8.1956 & 0.9418 \end{bmatrix}$$

$$LW_{LWQ} = \begin{bmatrix} 1 & 1 & 1 & 1 & 1 & 0 & 0 & 0 & 0 & 0 & 0 & 0 & 0 & 0 & 0 \\ 0 & 0 & 0 & 0 & 0 & 1 & 1 & 1 & 0 & 0 & 0 & 0 & 0 & 0 & 0 \\ 0 & 0 & 0 & 0 & 0 & 0 & 0 & 0 & 1 & 1 & 1 & 1 & 1 & 1 & 1 \end{bmatrix}$$

. في حين تم اختيار (15) وحدة في الطبقة التفاسية وبعد عدة محاولات.

فيما اشتملت مرحلة اختبار الشبكة فترة الخمس سنوات الأخرى الغير مستخدمة في التدريب لمقارنة مخرجات شبكة LVQ المقترنة مع البيانات المرصودة ودللت على حسن الأداء بمعامل ارتباط مقداره (0.9858) وكما مبين في الشكل (5).

الاستنتاجات والتوصيات

1- بينت النتائج إمكانية نمذجة الشبكة العصبية نوع LVQ في تخمين التبخر الانئي وهي خروج عن الطرق التقليدية في نمذجة الشبكات العصبية التي تعتمد في أدائها على أسلوب التغذية الأمامية والتي تحتاج في تدريبيها إلى إشراف.

التطبيق ومناقشة النتائج

تم تطبيق النموذج المقترن لشبكة LVQ على البيانات المرصودة والمرتبطة بظاهرة التبخر الانئي لمنطقة الموصل والشكل (4) يبين الموقع الجغرافي لمنطقة الدراسة. تضمنت فترة رصد البيانات (10) سنوات امتدت بين عامي (1990-2000) إن سبب اختيار هذه الفترة هو توفر جميع القراءات للسلسلة المرصودة وكذلك شمولها لمديات واسعة تضم معظم المعيطيات المرتبطة بفعالية التبخر الانئي.

اتبع الخطوات المذكورة أعلاه والتي تشتمل إعداد مدخلات الشبكة البالغ عددها (60) قيمة لكل متغير ولمدة خمسة سنوات بدلاً من إل (12) قيمة لكل متغير المستخدمة في نموذج الحسابات وتم التوصل بعد عدة محاولات إلى اعتماد (10) أصناف للهدف تغطي مديات فعالية التبخر الانئي وتعطي أفضل أداء للشبكة

2. Allen, R. G., Pereira, L. S., Raes, D., and Smith, M. (1998), "Crop Evapotranspiration: Guidelines for Computing Crop Water Requirement." Irrigation and Drainage paper No. 56, Food and Agriculture Organization of the United Nations (FAO), Rome.
3. AL-Hatem, N. T. ,(2004), "Rainfall–Discharge Modeling of Tigris Basins Using Artificial Neural Network", Ph. D. Thesis, College of Engineering, Mosul University.
4. ASCE Task Committee on Application of Artificial Neural Networks in Hydrology , (2000), "Artificial Neural Networks in Hydrology: Hydrology Applications", Journal of Hydrologic Engineering, ASCE, 5(3): 124-137.
5. Jain, S. K., and Sing, V. P. ,(2003), "Application of Artificial Neural Networks to Water Resources", Water and Environment International Conference on 15-18 Dec.Bhopal, M.P., India.
6. Kohonen,T.1988,"Self – organization and Associative Memory", Springer-Verlag, New York.
7. Demuth, H., and Beale, M. , (2002), Neural Network Tool Box For Use With Matlab. The Mathwork, Inc., MA. USA.

2-أوضحت النتائج مدى التوافق الخطي بين مخرجات الشبكة المقترنة مع القيم المرصودة لفعالية التبخر الانائي بمعامل ارتباط عالي نسبياً مقداره(0.9858).

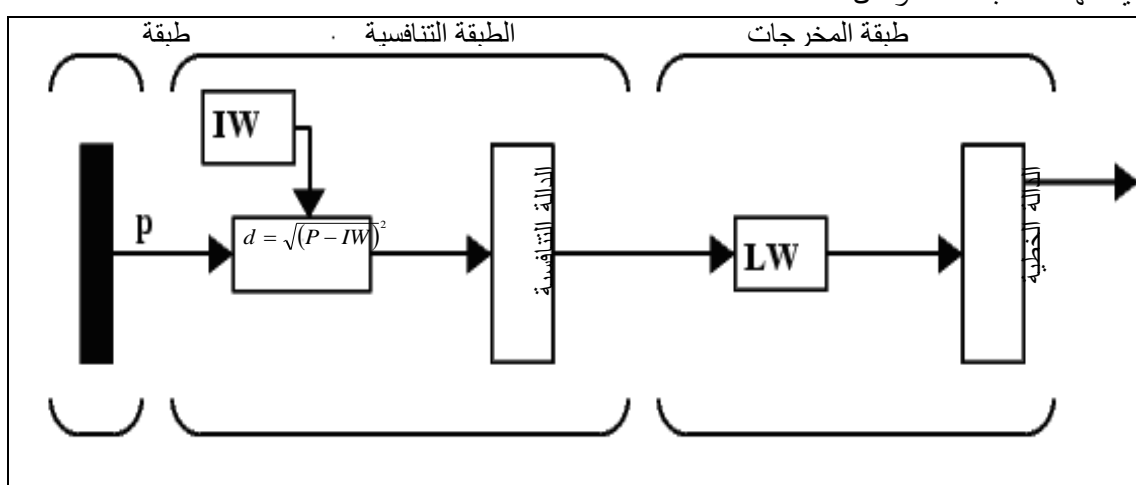
3-كان هدف هذه الدراسة ثبيت أسلوب منهجي لطريقة الحسابات التي تتم ضمن هذا النوع من الشبكات وتنميذ بتعقيدها نسبياً. تم سرد طريقة الاحتساب بشكل واضح بحيث يسد الفجوة بين إمكانية الشبكة من نوع LVQ وتردد المستخدم في الاستفادة منها.

4-من مميزات هذا النوع من الشبكات هو إدخال البيانات بشكلها الاعتيادي دون إجراء عمليات معالجة وتقييس عليها.

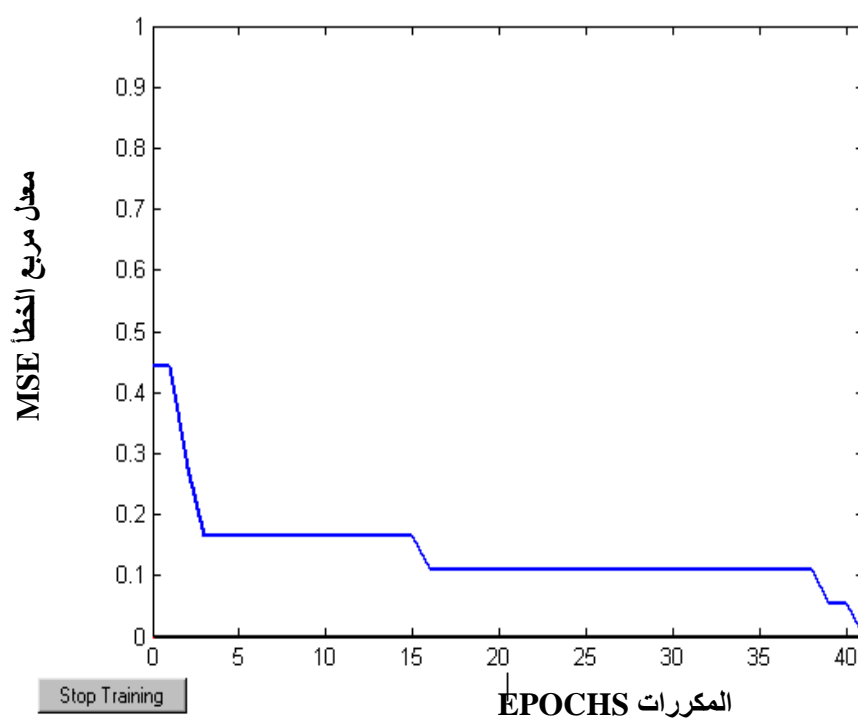
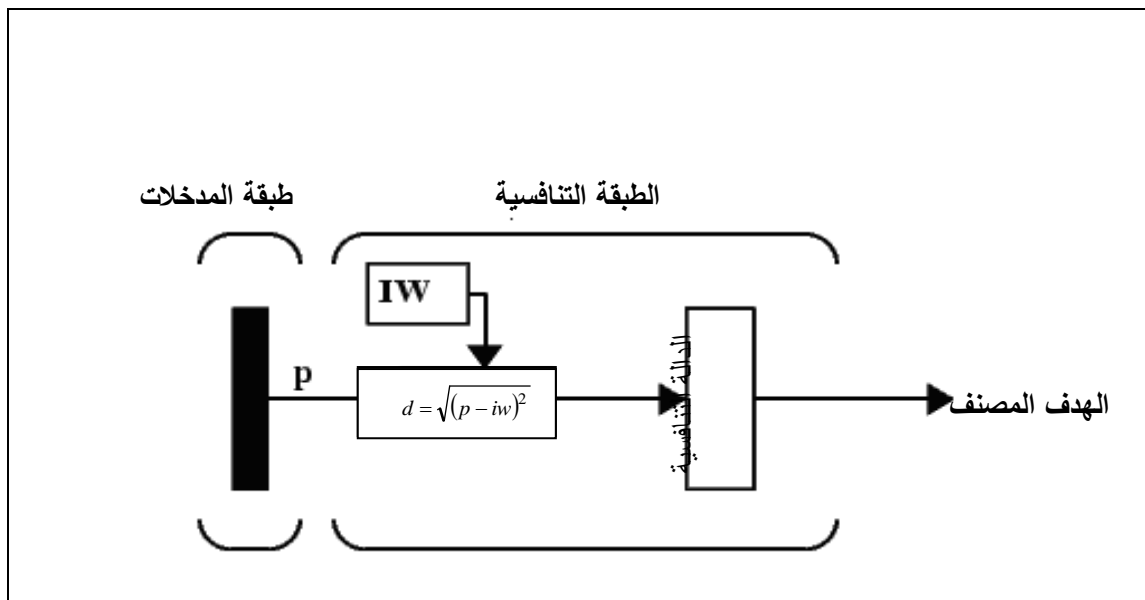
ومن التوصيات التي يوصي بها الباحثان استخدام شبكة LVQ للتنبؤ(Forecasting) وفحص إمكانيتها عند فقدان قسم من المدخلات وكذلك فحص إمكانية استخدامها لفعاليات أخرى تقع ضمن حقل الموارد المائية.

المصادر

- 1- العاني،افتخار عبد الجود عبد الحميد (2007). "أنموذج شبكة عصبية اصطناعية لتقدير التبخر _ نتح المرجعي لمنطقة الموصل". أطروحة دكتوراه، كلية الهندسة، جامعة الموصل.



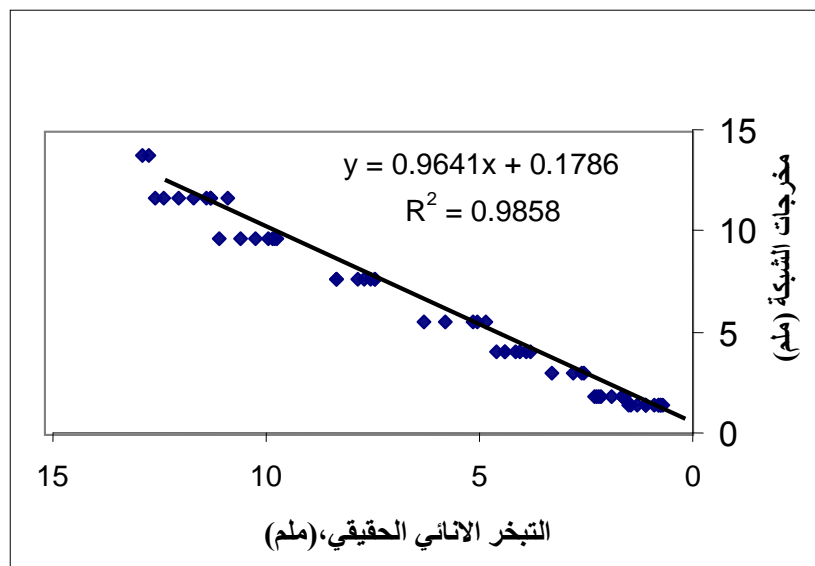
شكل (1) مخطط توضيحي لبنية شبكة تكمي متوجه التعلم LVQ



شكل (3): أداء شبكة تكمي متوجه التعلم (LVQ) أثناء تدريبها



الشكل (4) الموقع الجغرافي لمنطقة الدراسة



الشكل (5) التوافق الخطي بين مخرجات الشبكة المقترحة والبيانات المرصودة